

Ледовитость морей

Суровость зимних условий в регионе можно проследить по поведению такой характеристики, как ледовитость моря (рис. 6-1–6-3). Графики ледовитости составлены на основе средней декадной ледовитости моря в % относительно общей площади моря для Охотского и Берингова морей и относительно площади предельного распространения льда для Японского моря [Якунин, 1987, Плотников, 2002]. При характеристике ледовых условий используется классификация: умеренная ($\pm\sigma$ от нормы), большая (больше нормы на σ) и малая (меньше нормы на σ) ледовитость, определяется относительно нормы 1971–2000 гг., где σ – среднее квадратическое отклонение.

Японское море

Первая половина сезона 2014–2015 гг. на акватории Японского моря была близкой к норме по ледовитости моря с небольшим дефицитом площади льда (льда было меньше нормы на 1–8 %). Со второй декады февраля до первой декады апреля включительно ледовые условия были мягкими – льда было меньше нормы на 1,2–2,0 σ (на 10–18 %). Максимальная площадь льда – 36 % от площади предельного распространения льда – отмечалась в первой декаде февраля. Со второй декады февраля начался процесс разрушения льда. В апреле льдом было покрыто около 3–4 % площади предельного распространения льда.

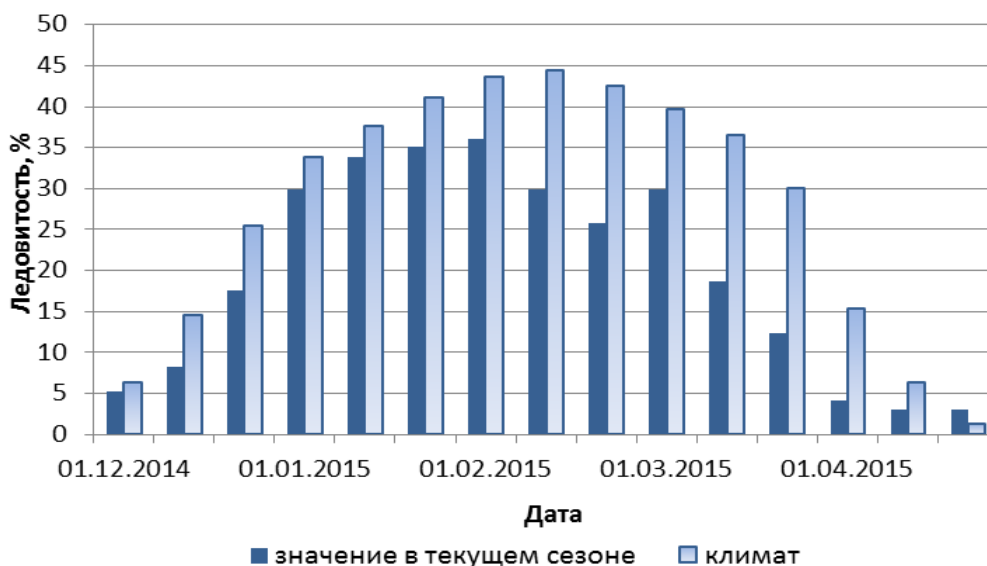


Рисунок 6-1 - Ледовитость Японского по декадам в сезон 2014–2015 гг.
Климатические значения ледовитости получены за период 1971–2000 гг.

Охотское море

По ледовым условиям сезон 2014–2015 гг. в Охотском море был мягким (рис. 6-2). В начале сезона, в декабре и первой декаде января, ледовые условия на акватории Охотского моря были близки к средним многолетним с небольшим дефицитом площади льда (льда было меньше нормы на 3–10 %). Со второй декады января до середины апреля ледовые условия были мягкими, в течение всех декад льда было меньше нормы на 15–33 % (на 1,2–3,1 σ). Максимальное количество льда отмечалось в первой декаде марта – льдом было покрыто 50 % площади моря. Затем ледовый покров начал разрушаться, значительное сокращение площади льда происходило в последней декаде апреля и мае. В последней декаде мая льдом было покрыто 11% площади моря, что меньше обычного на 2 % (на 0,3 σ).

**Обзор гидрометеорологических процессов и оценки текущего состояния
дальневосточных морей за 2015 год
Ледовитость морей**

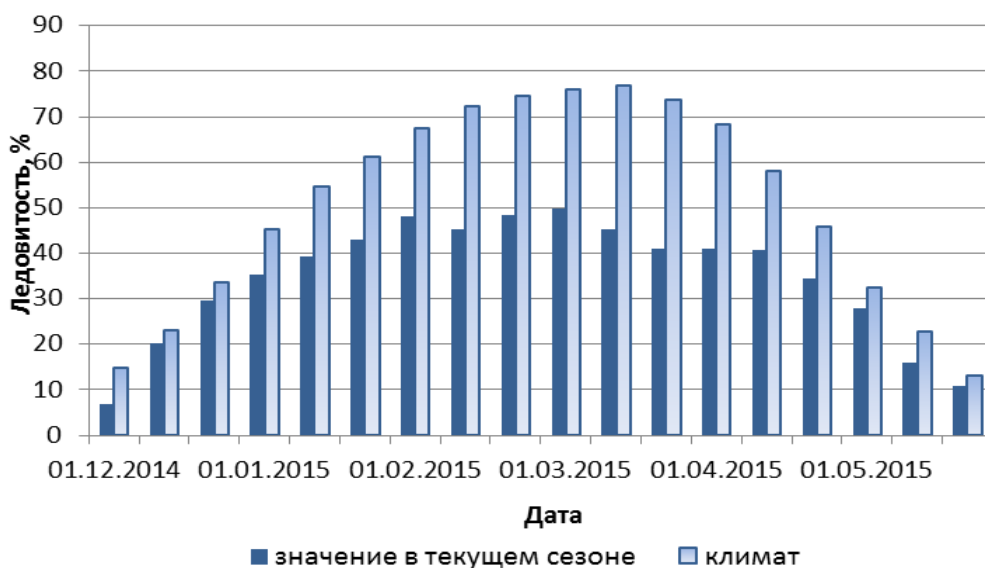


Рисунок 6-2 - Ледовитость Охотского моря по декадам в сезон 2014–2015 гг. Климатические значения ледовитости получены за период 1971–2000 гг.

Берингово море

На акватории Берингова моря ледовые условия сезона 2014–2015 гг. были близки к средним многолетним – площадь льда незначительно отличалась от нормы. Лишь в первой декаде декабря и второй декаде февраля отклонения от нормы достигали 1,0σ. В первой декаде декабря льда было меньше нормы на 5 %, а во второй декаде февраля – больше нормы на 7 %. Максимальная площадь льда зафиксирована в последней декаде февраля (37 % площади моря). Затем началось медленное уменьшение площади ледового покрова. Заметное разрушение льда отмечалось лишь в мае. В последней декаде мая льдом было покрыто 6 % площади моря (рис. 6-3), за месяц площадь льда уменьшилась на 29 %.

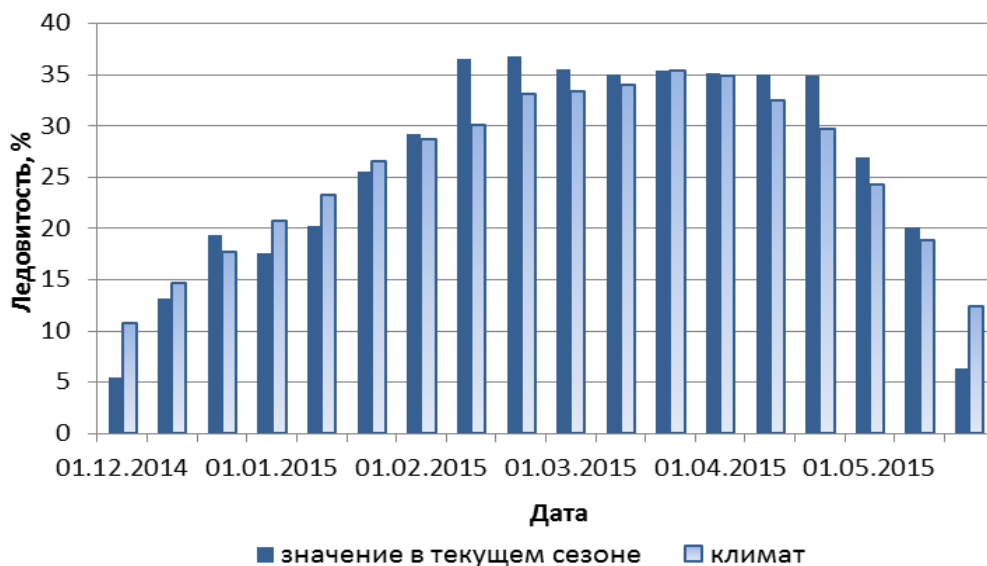


Рисунок 6-3 - Ледовитость Берингова моря по декадам в сезон 2014–2015 гг. Климатические значения ледовитости получены за период 1971–2000 гг.